

·<金属材料与热处理譯丛>·

第 5 輯

# 測試技術與設備

(上 冊)

上海市机械工程学会热处理专业组 編

上海市科学技术編譯館

## 編 者 的 話

本輯收录了国外有关热处理前的质量測試文献 20 余篇(有关热处理后质量測試及其設備收于下輯),編譯的方法是先选用綜合性評述文献,使讀者了解該項技术的全貌,然后把其中某几种方法加以詳情介紹,所收文章大多有較詳細的試驗过程与設備的描述。內容可以归纳为:奧氏体晶粒度的测定方法;鋼鐵在連續冷却时,相变曲綫的测定技术与使用設備;鋼材淬透性的测定法;热处理所用的熔融盐浴的冷却能力与流动性的测定;其它如再結晶温度的测定与淬火車間溫度測量等。

本輯由傅松圃工程师主編。限于編譯者水平,所选文章难免挂一漏万,不当之处敬希广大讀者不吝指正。

# 目 录

## 編者的話

显示奧氏体晶粒度的研究	[日本]足立 彰等	1
用氧化法評定奧氏体晶粒度	[西德]D. Schreiber 等	5
用腐蝕气体显出奧氏体晶粒的新方法	[日本]染 野檀等	10
显示硬化鋼中奧氏体晶粒度的方法	[英國]M. Kaldor 等	15
显出奧氏体晶粒的新氧化法	[日本]今井勇之进等	18
鋼的奧氏体晶粒大小的測定——氧化測定法的改进	[英國]A. Kohn	21
鋼的連續冷却轉变曲綫	[日本]今井勇之进等	26
連續冷却时測定鋼中相变的方法	[美國]R. ID. Chapman 等	34
高速淬火膨脹仪	[美國]F. E. Martin 等	45
研究馬氏体轉变用的装置	[苏联]B. Н. Минаков 等	49
鑄鐵用的 TTT 图解有助于理解等温轉变的結構	[西德]A. de Sy	52
端淬試驗的改进及其在高度精确研究中应用的可能性	[西德]H. Borchers 等	57
关于各种淬透性的端淬試驗方案的应用	[苏联]A. A. Гольдендерг	63
邊緣脫碳对鋼的端淬-淬硬性試驗的影响	[民主德国]A. Rose 等	65
測定低淬透性鋼淬透性的方法	[苏联]M. Е. Блантер 等	69
考核深淬硬鋼淬硬性的端淬試驗的繼續发展	[民主德国]A. Rose 等	71
由淬透性推測淬硬层深度的方法	[日本]大和久重雄	75
熔盐冷却能力的确定	[苏联]Д. Я. Вишняков 等	80
鋼在熔盐中热处理时熔盐流动性的檢查方法	[苏联]А. И. Зотьев 等	81
液体加热介质	[苏联]А. П. Гуляев	83
鑄鐵生长倾向的試驗方法	[苏联]Н. Н. Попова 等	87
几种确定再結晶温度的方法	[苏联]Г. К. Львов	88
淬火車間內的溫度測量	[民主德国]P. Uhlig 等	91

# 显示奥氏体晶粒度的研究

〔日本〕足立 彰等

## 緒 言

奥氏体晶粒度对于钢性能的影响頗大，所以从炼钢开始就必须注意适应使用目的的钢的奥氏体晶粒度。因而正确而迅速地测定奥氏体晶粒度的方法尤其必要。奥氏体晶粒度的测定法历来最通用的除渗碳法外，还有淬火法与氧化法等。这些方法各具特征，但由于它们都需要测定时间长、操作复杂、受到所含元素的影响并有操作或测定上的困难，所

以在再次研究以往的晶粒度显出法和腐蚀剂的同时，詳細地試驗了测定晶粒度和照相的金属扩散法。

## 实验試样

試驗中所使用試样的化学成分如表1所示。

用第1~9和第12来再研究以往的测定方法，至于鉛扩散法的詳細試驗則用第1~4和第10~12的試样。为了把鋼中夹杂物的鉛与扩散在晶界中的鉛作比較，使用了第11的鉛易切削鋼。

表1 試样的化学成分

試 樣		化 學 成 分										
		C	Si	Mn	S	Ca	Al	Ni	Cr	V	Mo	Pb
第 1	鋼 板	0.06	0.05	0.25	0.029	0.19	0.006					
第 2	鋼 板	0.09	0.07	0.36	0.039	0.21	0.003					
第 3	鋼 板	0.14	0.19	0.49	0.032	0.24	0.005					
第 4	鋼 板	0.09	0.28	0.45	0.015	0.25	0.003					
第 5	鋼 線	0.42	0.27	0.44	0.022	0.20	0.002	0.05	0.05			
第 6	鋼 線	0.61	0.29	0.46	0.019	0.19	0.005	0.05	0.06			
第 7	船用結構鋼	0.14	0.25	0.82	0.015	0.29	0.03	0.03	0.87			
第 8	船用結構鋼	0.15	0.35	0.72	0.008	0.11	0.03	0.33	0.35	0.10		
第 9	船用結構鋼	0.16	0.49	0.85	0.007	0.13	0.03	0.09	0.70	0.28		
第 10	Cr-Mo 表面硬化鋼	0.22	0.34	0.76	0.005	0.30		0.21	0.99		0.21	
第 11	鉛易切削鋼	0.31	0.26	0.62	0.006	0.21			0.05			0.10
第 12	電解鋼	0.009	0.0072	0.0028	0.0018							

## 实验方法和实验结果

此次試驗的方法为渗碳法、石墨堆积法、二次淬火法、淬火法、氧化法以及使用銅与鉛的金属扩散法，并以渗碳法作为基准与用其他方法的测定結果作比較。

晶粒度的测定在用任何显出法时亦都用与标准图比較的方法，取10个視野的平均值。

### 1. 渗碳法

以直径10毫米×15毫米或直径10毫米×20

毫米的試样在木炭粉60份和BaCO<sub>3</sub>40份的混合物中以規定的温度保持6小时后如普通方法一样用碱性苦味酸腐蚀而作显微检验。

如第7、8、9、10一样，在含碳化物生成元素的情况下，晶粒临界中断而造成晶粒度的测定困难。

### 2. 石墨堆积法

抛光磨面后的試样埋在木炭粉中，在規定的温度中保持2小时，冷却后取出，不腐蚀而作显微检验。鋼仅在木炭粉中加热时，炭几乎不从普通的晶面进入鋼中而只沿晶界进入。因此不生成碳化物而

成为石墨堆积在晶界上。

操作时须注意到微细小节。例如有微量的水分就不发生石墨的侵入，且易发生亚晶粒(sub-grain)，在许多情况下不能测定。

### 3. 二次淬火法

为了防止试样氧化，在真空中以规定的温度与规定的时间加热后水淬。在  $A_1$  点以上  $40\sim70^\circ\text{C}$  加热后以其一端放入铅浴中保持 10 分钟后再行水淬。磨光和用酸浸腐蚀而作显微检验，如试样尺寸小到直径 5 毫米  $\times$  20 毫米的程度，则于低碳钢亦适用。

### 4. 淬火法

对于碳量少的薄板钢不受所含元素的影响，为了测定粒度亦使用此法。试样按照此钢的组成，用 1~3 毫米适当厚度的 15 毫米  $\times$  20 毫米者。如表面有氧化层则研磨除去，然后在规定温度和规定时间内在  $5 \times 10^{-4}$  毫米水银柱的真空中加热，在  $5^\circ\text{C}$  的冷水中淬冷。这时在干燥的氢或氩的气氛中加热亦佳。但由于气体的清洁操作费事，因此作真空加热。其次在  $150\sim200^\circ\text{C}$  中作 10 分钟回火后磨光，在 5% 苦味酸酒精中后以 5%  $\text{FeCl}_3$  水溶液腐蚀。由于在苦味酸酒精之后用 1% 硝酸酒精作数秒钟的腐蚀之故，所以如用  $\text{FeCl}_3$  水溶液可获得更好的结果。 $\text{FeCl}_3$  腐蚀液对于如第 1 或第 2 那样的低碳钢可获得特别优良的结果，且能清楚地观察马氏体方位的差异。但对于第 5 和第 6 那样碳量多的钢则并无效果。象试样第 7、8、9 那样含特殊元素者只用苦味酸酒精腐蚀，在更短时间中获得明显的组织。

### 5. 氧化法

以抛光磨面的试样的研磨面向上，在电炉中以规定温度和规定时间内加热后取出，在冷水中淬冷。

表 2 氧化法与其他显出法在  $1200^\circ\text{C}$  时  
晶粒尺寸的比较

试 样	显出法	氧化法	淬火法	二次淬火法
第 1		6.5	4.5	4.5
第 3		6.0	4.3	4.3
第 7		7.3	4.9	4.5
第 9		7.1	4.2	4.8
第 12		6.0	4.9 (渗碳法)	

除去试样的表面氧化膜并以 1% 硝酸酒精腐蚀而作显微检验。

在  $925^\circ\text{C}$  中测定的结果与用其他测定法者极为一致，处理温度再高则有较其他测定法的晶粒度号为大的倾向。表 2 所示是指出  $1200^\circ\text{C}$  中的结果之例。用电解铁时亦出现同样的倾向，因此关于其中原因目前正在研究中。

### 6. 金属扩散法

#### (1) 铜扩散法

取 2 个 5 毫米方、长度 15~20 毫米的试样，分别在每一块试样 5 毫米方的一面以砂纸研磨到 3 个 0，在研磨面上分别放上锡并以之加热到锡的熔融温度以上，使锡的附着面互相接触而作成“夹心”(sandwich) 试样。以之与木炭粉一起放入坩埚中并用电炉使奥氏体晶粒生长。与此同时，在另一电炉容器内使 Cu-P (P ≈ 15%) 略为熔融，把“夹心”试样从木炭粉中取出，在坩埚内壁上部叩击剥落使附着锡的面分下来，迅速地移至 Cu-P 合金熔浴中。在此温度中约保持 30 分钟使合金扩散到晶界后在水中急冷。去除附着于试样的合金后再加研磨，并用 5% 苦味酸酒精腐蚀而作显微检验。这种制成的“夹心”试样以及埋入木炭粉中进行奥氏体化的处理认为是防止试样氧化的最好方法；但由于操作稍为复杂，所以也试行了把研磨到 3 个 0 的试样就照这样在加热的硼砂浴中进行奥氏体化处理。为了防止通过熔融硼砂层的试样氧化起见，硼砂层应尽可能地使其厚。除试样作显微检验面之外的氧化膜亦须完全去除，因此浸入硼砂浴中。尽管如此，认为仍有几分氧化膜的生成。如长时间地使用，则合金浴将成为胶粘的状态而使以后的操作造成困难，关于进行奥氏体化处理的合金浴，在下面所述的铅扩散法中作更详细的试验。

为了比较在硼砂浴中的奥氏体化处理时间与晶粒度的关系，在  $925^\circ\text{C}$  保持 30 分，1 小时，2 小时，4 小时和 6 小时后放入 Cu-P 浴中 30 分钟而测定晶粒度。第 8 之例所示与图 1 所示的渗碳粒度极为一致。为了比较起见，把改变奥氏体化温度时的结果一并列入。

Cu-P 浴在使用中与 P 挥发的同时钢亦氧化，因此成分依次变化。如放入硼砂则浴的表面的氧化物虽一时溶解而除去，但使合金浴的粘性增加以及溶解生成物附着于试样上，使以后的操作困难。所以为了使合金浴的成分保持不变，试验了下述的铅

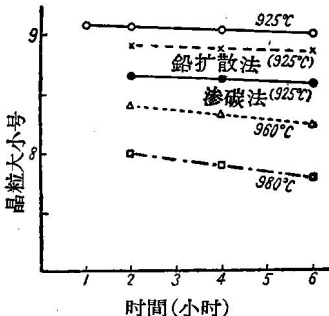


图1 用銻扩散法, 加热温度与加热时间在晶粒尺寸上的关系(試样第8)。

扩散法。

## (2) 銻扩散法

代替 Cu-P 溶的鉛浴的使用結果, 除了克服了上述的困难外, 晶界亦較明显, 因此容易測定。

試样的大小和形状与銻扩散时相同, 但在接近显微檢驗面的反面处开小孔, 通以鎳鉻合金絲便于垂悬于鉛浴中, 同时要压住在鉛浴中的試样, 以便防止試样由于比重之差而上浮。硼砂浴的容器在銻扩散时使用磁坩埚, 但由于冷却时頗多损坏, 因此用了18-8不銹鋼。鉛浴最初亦用鐵的坩埚, 为了防止氧化而添加少量石墨粉, 但由于氧化鐵与氧化鉛的共同作用而对坩埚的侵蝕頗大, 因此使用了与硼砂浴相同的18-8不銹鋼的坩埚。

如前所述, 硼砂浴的溶点低, 在奧氏体化处理溫度范围內的流动性良好, FeO 在試样表面生成而立即溶解, 因此試样表面往往能保持洁净。但在 FeO 溶解中粘性增加, 試样浸入后不易立即包围在其周围, 特別在显微檢驗的面上密集, 因此完全失去了作为保护作用的目的。进入浴中的氧亦有相当的溶解度, 因此在长时间的使用中出現由这些溶解氧所引

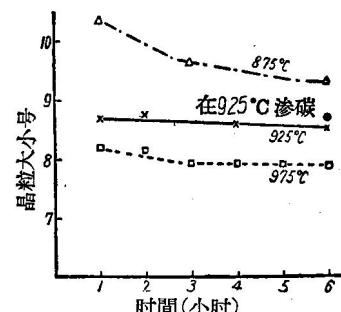


图2 用鉛扩散法, 加热温度与加热时间在晶粒大小的关系(試样第10)。

起的作用, 可能成为类似氧化法的結果。虽然为了防止进入浴中的氧的溶解, 設法吹入 N<sub>2</sub> 或 Ar 来調整炉內的气氛, 但不能获得十分良好的結果。如在完全惰性气体的气氛中进行处理, 虽无問題, 但操作复杂。

試用了 K<sub>2</sub>O—SiO<sub>2</sub>—Na<sub>2</sub>O 系炉渣 (K<sub>2</sub>O:SiO<sub>2</sub>:Na<sub>2</sub>O=1:3:1) 来代替硼砂, 虽然流动性极好以及FeO 的溶解亦差不多沒有变化, 但試样的氧化侵蝕沒有获得比硼砂浴更显殊优良的結果。在1~2 小时左右短时间处理的情况下, 硼砂浴作为简单的方法来使用亦能充分完成它的目的。当前, 能够完全防止試样氧化的奧氏体化处理是以“夾心”試样在木炭粉中进行, 虽然操作上略为費事, 但不失为最好的方法。

在鉛浴中浸入 10、20、30 及 60 分钟的时间, 扩散层較 Cu-P 时为薄。浸入 10 分钟的时间, 在再研磨中的消失部分增多, 到处只可看出一部分的晶界, 浸入 30~60 分钟时间的扩散层約在 0.1 毫米以上。得到非常明显的晶界, 因此以后的試驗都采取这時間内进行。以 5% 苦味酸酒精作为腐蝕剂太弱, 5%

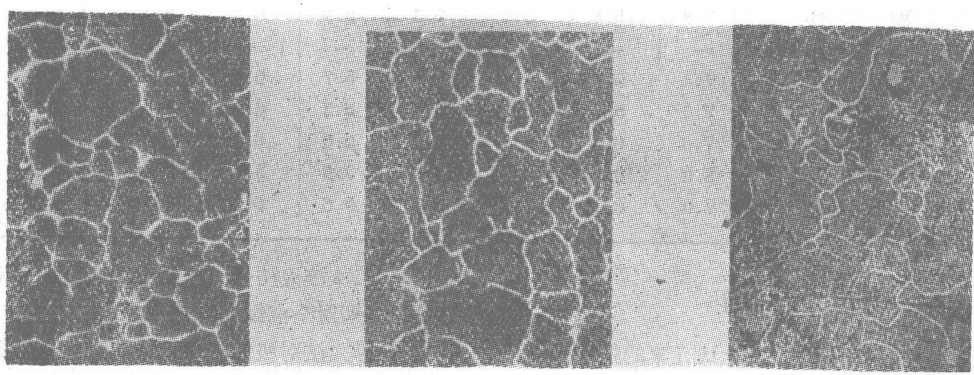


图3 第11在 925°C 用鉛扩散法的晶粒尺寸照相。×250(2/3)

(a) 奥氏体化 2 小时; (b) 奥氏体化 3 小时; (c) 奥氏体化 6 小时

$HNO_3$  則太強，1%  $HNO_3$  最好。用染色劑的雙硫腙，也試用偏光顯微鏡作顯微檢驗，但不能肯定獲得確實良好結果的條件。

第 8 試樣在  $925^\circ C$  的測定結果一并繪入圖 1。在  $875^\circ C$ 、 $925^\circ C$ 、 $975^\circ C$  中作 1~6 小時的奧氏體化處理和在鉛浴中浸入 1 小時後的第 10 試樣的結果如圖 2 所示，第 11 試樣在  $925^\circ C$  中的結果則如圖 3 所示。

此法對於任何成分的鋼種都能適用，晶界非常

鮮明，因此容易測定晶界和照相。與銅僅在鐵中有溶解度相反，鉛完全沒有溶解度，因此長時間地浸入鉛浴中亦會象 Cu-P 溶浴時一樣使晶界變粗而沒有變成較真的晶粒為小的缺點。

對這次進行試驗的各試樣的晶粒度的測定結果匯列在表 3 中。圖 4 (a)~(b) 所示為第 8 試樣用各顯出法的顯微照相的舉例。可從表 3 中看出，在  $925^\circ C$  中用各顯出法的測定結果，除石墨堆積法有不能測定的情況外，其餘都非常一致。

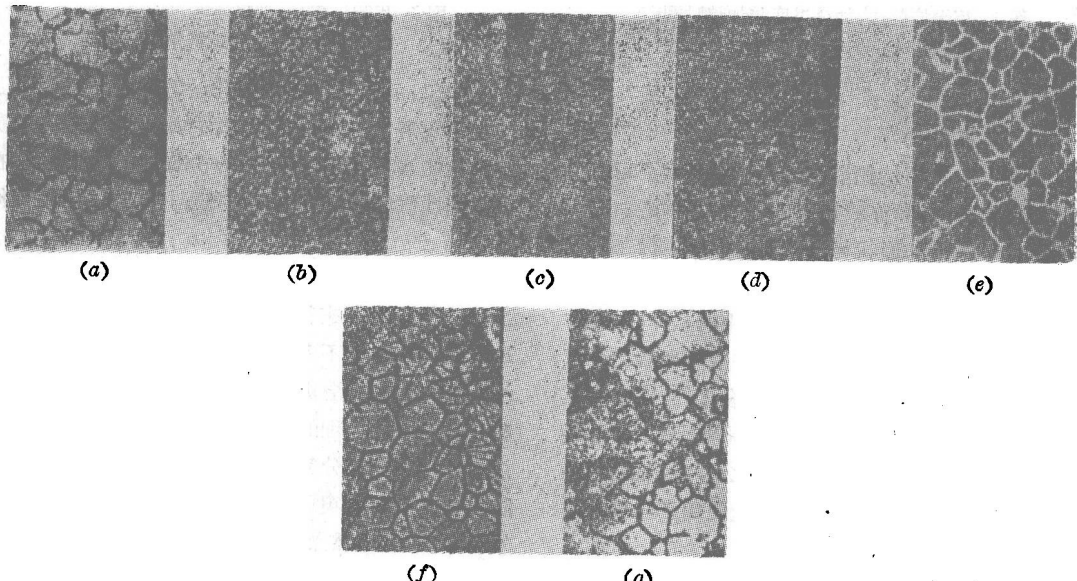


圖 4 第 8 在  $925^\circ C$  用各種顯出法的照相  $\times 400$  (2/3)

(a) 渗碳法；(b) 石墨堆積法；(c) 二次淬火法；(d) 淬火法；(e) 氧化法；  
(f) 銅擴散法；(g) 鉛擴散法

表 3 各種顯出法在  $925^\circ C$  的結果比較

顯出法	試樣	第 1	第 2	第 3	第 4	第 5	第 6	第 7	第 8	第 9
滲 碳 法	7.8	5.8	6.2	5.4	5.9	6.3	8.5	8.6	8.2	
石 墨 堆 積 法	—	—	—	—	—	—	8.5	—	8.3	
二 次 淬 火 法	7.4	5.4	5.6	5.2	5.7	6.1	7.7	8.5	8.0	
淬 火 法	7.6	5.6	6.1	5.4	6.2	6.0	8.5	8.7	8.3	
氧 化 法	7.6	6.0	6.3	5.6	6.0	6.5	8.3	8.8	8.0	
銅 擴 散 法	8.0	6.2	6.5	5.5	5.5	5.9	8.7	9.0	8.4	
鉛 擴 散 法	7.9	6.1	6.4	5.7	5.6	6.1	8.7	8.8	8.5	

## 結論

(1) 渗碳法對不含碳化物生成元素的鋼能得出良好的結果，但有操作時間過長的缺點。

(2) 石墨堆積法除操作困難外還容易發生亞晶粒，故不宜作為晶粒度的測定法。

(3) 二次淬火法如試樣尺寸在直徑 5 毫米  $\times$  20 毫米以下，則對全部鋼種都適用。

(4) 淬火法對極低的碳鋼特別有效，但更需要進行腐蝕劑的研究。

(5) 氧化法除操作簡單外，還能適用於全部鋼

(下接第 20 頁)

# 用氧化法評定奧氏体晶粒度

〔西德〕D. Schreiber 等

本文叙述了对含碳量約至 0.75% 的碳素鋼及 16MnCr5 渗碳鋼，在奧氏体晶粒度評定中，按麥夸特及恩氏法和按氧化法在适应性上的对比研究。在氧化法中保温时间和加热温度的影响，并作了推断。

自从认识到由热处理所引起的 $\gamma$ -固溶体会影响鋼的性能后，大家都致力于测定奧氏体晶粒度。1922年由麦夸特(H. W. Mcquaid)及恩氏(E. W. Ehni)所創的渗碳試驗法乃最先采用解决方法之一，此法至今仍被广泛地使用着。麦夸特及恩的工作，其存在价值在于他們将奧氏体晶粒度的意义作为鋼冶金特性的标志。但有許多文章对此法持有反对意見。例如有这样的顾虑，即在渗碳时，奧氏体晶粒的成长会受到影响，因此对奧氏体晶粒度的真實判断、特別在調質鋼中，成为不可靠。此外，由于渗碳是在一定温度和保温時間下进行的，就不能說明奧氏体晶粒成长的趋向。要将試驗扩展到在較低溫度和較短保温時間也很困难的，因为在此种条件下，常不会构成相关連的碳化鐵网。

从很多想采用較简单方法来代替麦夸特-恩渗碳試驗的办法中，看来以氧化法为最佳，具有通用性。海拉西門柯(P. Herasymenko)氏首先研究了这个方法，其研究結果导使托平和肯庸(H. Tobin、R. L. Kenyon)氏发展了一个类同的方法，而使用于某种共析鋼中。孔恩(A. Kohn)曾在一項基础研究中，抓住其意向并深入研究。司塞基(P. Széki)的工作是不能不叙述的，他評定了低碳鋼中的奧氏体晶粒度。为了在相当的加热中氧化晶界，他使用了市場供应、含有大量氧气的氮气。根据司卡雷克和西哈氏(H. Šharek、K. Cíha)所报告，氧化法已列入捷克国家标准 ČSN 420 463 中，在这个标准中載着加热温度为 930°C，保温時間为 3 小时。

## 进行試驗

在研究中选用了七种鋼，其化学成分載于表 1。除調質鋼外，还对二种熟知的、根据西德工业标准 17210 的渗碳鋼作了研究，評定这种鋼的奧氏体晶粒

度，具有特殊的意义。此外，在試驗計劃中还列入了一种鋁鎳靜的細晶粒鋼，以确定氧化法在这方面的使用可能性。

表 1 研究用鋼的化学成分

序号	照 DIN 17006 的简称	C%	Si%	Mn%	P%	S%	Al%	Cr%
1	O 15	0.17	0.29	0.55	0.024	0.021		
2	O 45	0.40	0.37	0.74	0.014	0.021		
3	O 75	0.72	0.28	0.76	0.027	0.021		
4	①	0.26	0.27	0.55	0.016	0.020		
5	16MnCr5	0.18	0.16	1.21	0.028	0.017		0.95
6	MU St 4	0.05	0.01	0.31	0.014	0.023		
7	MR St 4	0.06	0.06	0.35	0.019	0.022	0.044	

① 鎮靜平炉鋼

第一組試驗中，考核了温度和保温時間的影响。从全部鋼种中取出試样，将其表面預磨至最細粒度，結束后，将試样送入馬弗炉中，到达預定温度后，停留 20 分钟、1 小时或 3 小时，接着在水中冷却。此时，表面上所构成的鱗片(Zunder)大部分爆落下来，余下部分用机械方法也极易去除。将試样在最細的金鋼砂紙上作短时抛磨后，在 15% 的盐酸乙醇腐蝕約 1 分钟。但在磨削和抛光时，适当地殘留少量鱗片，以确定氧气所要标志的奧氏体晶界区域还未被去除。

为使这个方法能与按照麦夸特-恩氏的方法相比較，还作了第二組試驗，其要点完全相似。所須注意者，麦夸特-恩氏試驗的加热时间为 8 小时，因此須将按照第一組方法进行准备的試样放在一座管状炉(Röhrenofen)內，在 927°C 中加热 7 小时。采用經過小心地清洁和干燥了的氩气作为保护气，则在此段时间内可达到試驗所要求的防止氧化，然后氩

气流由氧气代替，使試样在氧化气氛中加热 1 小时，再在水中淬冷，再如前述一样，为显微镜下研究做好各項准备工作。

第三組試驗則根据麦夸特-恩氏方法，将試样置于碳酸鋇和木炭混合物中，作 8 小时滲碳，以評定其奧氏体晶粒度。

## 試 驗 結 果

在麦夸特与恩氏的試驗中，奧氏体晶界以碳化鐵网为标志，用苦酸鈉溶液腐蝕后显色。但与上述相反，經氧气扩散而确定的晶界則是以 15% 的盐酸乙醇来觀察的，它不显色，但对晶界处的腐蝕較晶粒面为强，造成槽形凹洼。这些盆槽，如稍从晶粒断面的溶液增濃区域 (Schärfenbereich) 处看，就能清晰地看到。隨着把这些增濃的平面放在磨片平面的上部或下部，其网络分別地显示出明亮或阴暗。这个

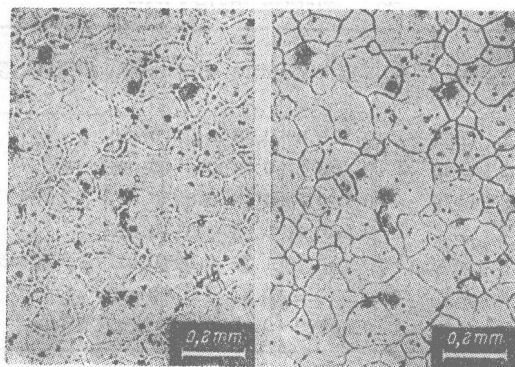


图 1a 及 b O15 鋼在显微鏡增濃平面不同調  
节下的組織

試样在 900°C 下加热 20 分钟，然后在水中淬冷  
(腐蝕：15% 盐酸乙醇；200:1)

事实同时还有一个优点，即鐵素体晶界是不增濃的，因此不再妨碍晶粒度的評定。图 1a 及 b 乃示这二种可能性的 200 倍放大。

这种酸蝕显然与氧气的扩散关联在一起，主要是它在达到 1000°C 温度內造成晶界扩散。温度超过 1000°C 以上，用氧化法評定晶粒度就困难了，看来这里体积扩散有强烈影响。温度在 900°C 以下时，晶界的刻痕非常显著，使我們在多数情况下，例如在加热到近 800°C 温度范围内，十分經常地看到沿着晶界上的不規則綫紋 (图 2)，而按照相同的試样处理中，在温度超过 850°C 时，就不能确定这些現象。在兴克，希米特曼和穆勒氏 (H. Schenck, E. Schmidtmann, H. Müller) 的研究中，以另外一种关系來說明这个情况。图 3a 至 d 很好地展示了与温度有关的各种過程的扩散情况。

氧气沿着晶界的穿入深度是相当小的 (图 4)。由于这个深度看来不随加热持續時間而增加，因此

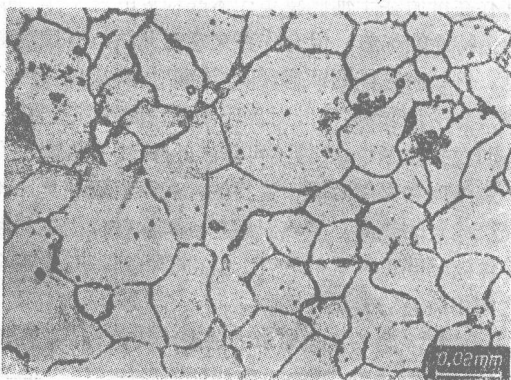


图 2 O15 鋼的晶界上不規則綫紋

試样在 800°C 下加热 20 分钟，然后在水中淬冷  
(腐蝕：15% 盐酸乙醇；500:1)

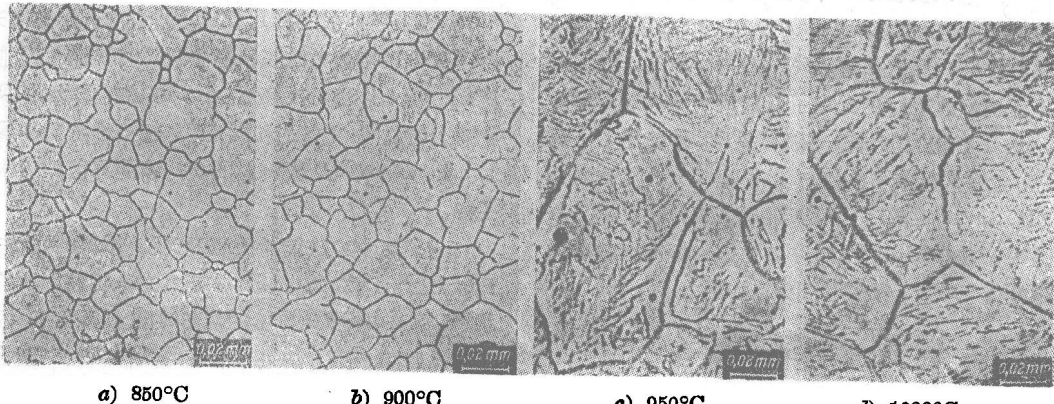


图 3a 至 d 含碳約 0.25% 的碳素鋼奧氏体晶粒度(按表 1，序号为 4 的鋼)与溫度的关系

試样加热时间 20 分钟，然后在水中淬冷(腐蝕 15% 盐酸乙醇；375:1，原始 500:1)

片落只发展在表面上这个結論是非常接近的。同时在图中也可看到，我們对所处理的試样进行磨削和抛光时，必須小心，不要磨在氧气还未透入的表层上。試样磨去少，则在磨片上还能看到如图 2 所示的清晰綫紋。根据这种現象的一种方法，孔恩氏已作了报道。

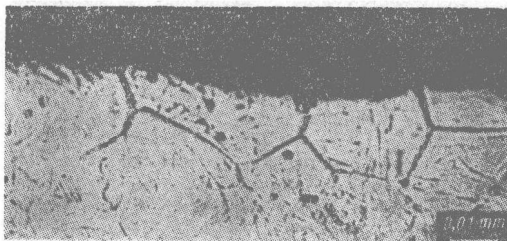


图 4 氧气扩散至 O15 钢的表面内 927°C 下加热，  
試样最后在水中淬冷(腐蝕: 15% 盐  
酸乙醇; 750:1)

为了能够說明关于在不同温度、不同時間下，到底从磨样的表面带走了多少鐵，因此作了片落試驗 (Verzänderungsversuche)。在这項試驗中，已經過磨削平面的鋼試样，事先加以精确測量，并在与氧化法所用相同条件下，将其放入一只馬弗炉內加热，在每一档温度下 (850、900、950 和 1000°C) 每次均有試样分别停留 20 分钟、1 小时及 3 小时的加热持續時間。最后对这些試样再如氧化法中所要求者，进行預備工作，对这样加过工的試样，重新測量其厚度。这組試驗的結果如图 5 所示。从三条曲線中得到，在 900°C 中加热、氧化时间为 1 小时者，从表面带走的鐵为 0.15 毫米。为了获得这个剥落层厚度到底相

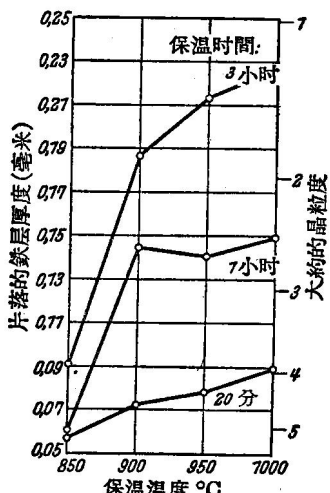


图 5 加热温度与保温时间对 O15 钢試样片落层厚度的影响  
(試样在加热后磨削，抛光及腐蝕)

当那种晶粒度的概念，在图的右面纵坐标上标志了大約的晶粒度。从这里可以看出，为使剥落相当于 3 級晶粒度的晶粒片落层，则温度 900°C 以上，1 小时就已够了。从試驗結果中发现，由于氧气扩散阻碍其成长的奧氏体晶粒，从表面上剥落，位于下面的晶界又重新显示出来，所以用扩散的氧气可高度避免其成长的阻碍。

需要澄清的第二点是加热持續時間对晶粒度的影响程度。对于这个問題，我們用氧化法測定了表 1 中 16 MnCr5、C15 及碳素鋼 St 4 三种鋼的奧氏体晶粒度，其間每种試样均加热 20 分钟、1 小时及 3 小时。图 6 乃其結果，我們看到，20 分钟后的晶粒长大还是相当少的，其后約至 1 小时时，则急剧上升，最后上升又回降或甚至完全停止。在通常情况下，晶粒度的上升在 1 至 3 小时之間是不显著的，所以从尽量縮短試驗時間出发，对所有以下試驗，均以 1 小时加热時間代替，看来亦是成功的。此外，由于不同試样厚度所引起加热时间上的可能差距，影响还是很小。

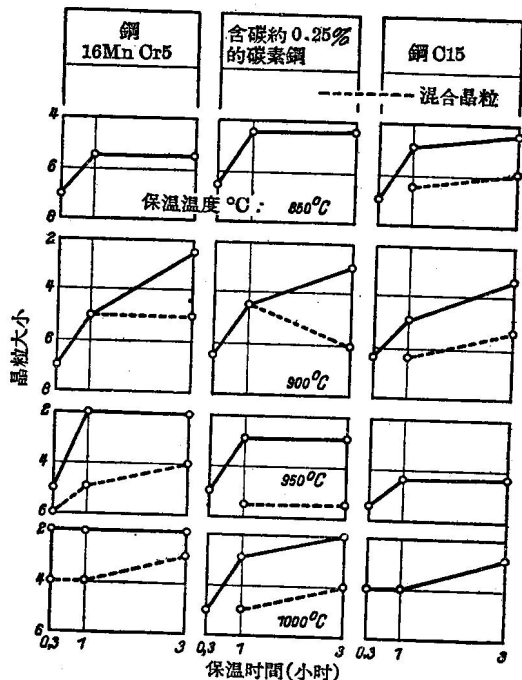


图 6 加热温度与保温时间对研究的三种鋼的  
奧氏体晶粒度影响

通过这些試驗，使工作方式清楚后，则可使用到七种不同鋼种上去。首先是在加热持續时间为 1 小时的条件下測定其奧氏体晶粒度与温度的关系。从图 7 有关曲線中清楚地指出，晶粒度随温度升高而

增大，而从一定温度开始，常出現一种混合晶粒（Mischkorn）。仅用鋁鎳靜的 MR St 4 鋼如所期待的为明显的例外。

为考核长时间加热对晶粒度的影响，将試样在氩气保护下加热至 927°C，保温 7 小时，然后在同等温度下，用空气氧化 1 小时。所得之值与图 7 所載相同，并指明此处所期待的完全达到。出人意外的乃当試驗温度提高 23°C 至 950°C 时，已排除了对时间的影响。此外，与其他鋼种相反，对渗碳鋼言，受加热时间的影响很少。

将同一鋼种，使在氩气和空气中作 927°C 长时间加热，将所評定晶粒度的結果与按照麦夸特-恩方法所得者相对照，其数值載于图 7 中，并指出，这两种方法是能很好地符合的。

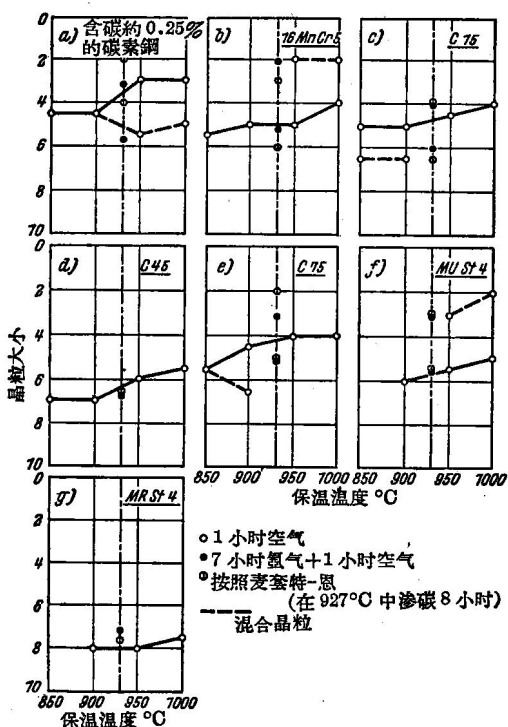


图 7 测定奥氏体晶粒度中氧化法与按照麦夸特-恩渗碳法的对比

从比較上述三种測定晶粒度方法的結果后，可以肯定麦夸特-恩方法可用氧化法代替。用此法有个很大优点，所需費用和時間較少，每种試驗进行上无巨大困难。此外，它可用于每一种碳素鋼和含碳量較少的低合金鋼中，同时通过温度与時間的变动，使之适合于当时的真实操作条件，其中对調質鋼有特別意义，对它們說，不存在操作上的渗碳淬火。如采用普通的硝酸来代替盐酸作为腐蝕剂，则除奧氏

体晶界外，也能清楚地显示鐵素体晶粒，这样就有可能在某些情况下，从同一磨片中直接觀察到奧氏体晶粒与鐵素体晶粒之間的关系。

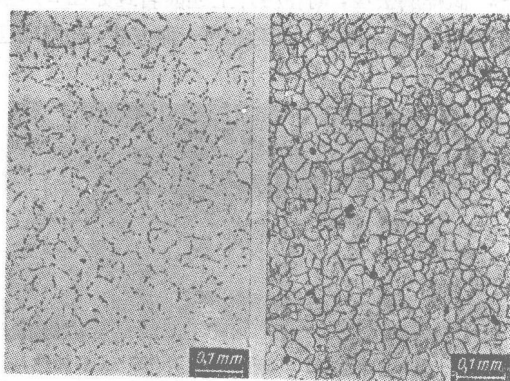


图 8 a 及 b 按麦夸特-恩法及氧化法对奥氏体晶粒度的可見性

a) 按麦夸特-恩法 b) 氧化法

按麦夸特-恩氏方法測定晶粒度，如果在晶界处的碳化鐵未构成相关的网络时，常出現了困难，其晶界必須由断口 (Bruchstücke) 来辨认。在这些情况下，图 8 a 及 b 指出了氧化法的优越性。

## 結 語

按照麦夸特及恩測定奥氏体晶粒度的一般方法，存在一系列缺点，为去除这些缺点，当前的工作須繼續发展氧化法。

此处所采用的氧化法的性质，乃是将預先磨好的試样放入一座不装保护气的馬弗炉内加热。試样的表面在空气中加热受到一次起鱗，另一方面，氧气沿着奥氏体晶界扩散到还未起鱗的材料内部。将表面很小心地磨去，并以盐酸乙醇腐蝕后，就能看到由氧气扩散而顯現的奥氏体晶界。在处理中，时间和溫度可較大幅度地变动，以适应操作中的条件，就中以 950°C 中加热，保温时间 1 至 3 小时，最后以水淬冷者为最适合。

氧化法的应用，曾在 C15, C45, C75, 16MnCr5, MUSt 4 和一些含碳量約 0.25% 的其他碳素鋼中作了試驗，由此繪出了許多曲線。这些曲線給出了溫度从剛超过  $A_{c3}$  点起至 1000°C、加热持續時間从 20 分钟至 8 小时的条件下，其奥氏体晶粒的成长。从曲線中能指出，在相同的試驗溫度和保温時間下，氧化法和按麦夸特-恩的試驗法能很好地符合一致。由于在氧化过程中，所試驗的試样上层經常在起鱗剥落、經常顯現新的晶界，其晶粒成长不受阻碍，所

以在氧化法中，晶粒成长的影响受限到最小程度。

除簡易省时外，氧化法还有的优点是：在試驗中，試样的化学成分不受变动，这在操作上要求相同条件下可以使用，特別对于調质鋼，它在操作中是没有滲碳淬火的。

×            ×            ×

对这个报告有下列几种議論。

阿道尔夫·罗塞(Adolf Rose)：看来需要指出的是，用氧化法测定晶粒度是与一些假設相連系起来的，这些假設限制了用途。对于氧化所需要的奧氏体轉变持續時間不能保持在最低數內。它亦沒有排除奧氏体晶粒在其界限确定后，还繼續长大的可能性。还有，正象加热板显微鏡(Heiztischmikroskop)下所作奧氏体晶粒研究中一样，晶粒的构成只包含在自由表面上，可以想象，这些情况还会变动到内部去。如去除了这些假設，则作为方法来讲，变成是沿着早先的奧氏体晶界去觀察鐵素体网絡(Ferritennetzwerk)和觀察馬氏体的形成。第一种觀察受到須具有一定含碳量的試样，并須最适当地冷却的限制。对第二种觀察，除受限于馬氏体的淬冷外，并无其他受限制的假設。这样測定晶粒度就比較困难，因为針状馬氏体的排列与早先的奧氏体晶粒之間，不常是可以順利地辨識出来。

艾恩斯特·孔茲(Ernst Kunze, Krefeld)：麦夸特-恩的滲碳法与氧化法之間，应从所試的鋼加以区别对待。对于滲碳鋼的試驗中，我认为晶界的評定以麦夸特-恩氏方法为較妥善，因为此法中长的滲

碳时间接近于滲碳鋼滲碳所要的保温时间。如果注意到在氧化法中，奧氏体轉变持續時間只是很短暫的，則不禁要問，在这些試驗中，这二种方法的結果怎么会很好地符合一致呢。

下面我所做的方法，同样能很好代替麦夸特及恩对晶粒度評定的方法：将鋼样在已很小心地清洗过的氩气内加热，經若干时间后輸以若干空气或氧气，使其构成一层輕度的氧化膜。将氧化了的試样浸入不含水分的熔盐(Salzschmelze)(例如硝酸鈉)中，则其鱗片很易爆露下来，能很清晰地看出其奧氏晶界。

蒂脫里希、希賴勃尔(Dietrich Schreiber)：从一个平的磨面看，则連同抛光的磨削是較适合的，此外奧氏体晶界不仅直接显示在表面上。

氧化法和按照麦夸特-恩滲碳法的結果相符合一致，亦經我們用統計法作了考核。例如将4种含碳量約0.1~0.2%的各种鋼的45个熔炼号(Schmelzen)研究其奧氏体晶粒度，按其結果可将鋼分为二組，即鋼的晶粒度从1~4，和另一种从5~8。对第一組鋼用氧化法測定其晶粒度为平均3.7，而按麦夸特-恩方法，其平均晶粒度为2.5。在晶粒較細的鋼組中(晶粒度5~8)按氧化法的相应值为5.9，按麦夸特-恩法为5.5。两种方法間的符合程度对晶粒較細的鋼很好，对較粗晶粒的鋼則較差。

(陈錫康譯自《Archiv für das Eisenhüttenwesen》Heft 12, 1961  
857~861頁)

# 用腐蝕气体显出奥氏体晶粒的新方法

〔日本〕染野檀等

## 緒 言

奥氏体晶粒度的确定法已在日本工业标准中有所规定，除此之外尚有不少测定法。通常利用奥氏体晶粒边界的特性来显示高温中的奥氏体晶粒度。作者认为，在不锈钢的光亮加热中利用HCl气体，就能使HCl气体强烈地腐蚀晶粒边界，因此对利用这种腐蚀气体的作用来显出晶粒度进行了研究。

为了要在常温中了解高温中的组织，必须在高温中用化学方法显出组织而在常温中加以保持。如瞬时氧化法和大气压下的氧化法等都是利用高温中化学反应的方法。假如象HCl那样的腐蚀性气体在高温中对钢发生作用的话，那么由于腐蚀速度上的差别，不但能显出晶粒边界，而且也能显出该温度下的基体组织。

本文是关于二三种材料用这种腐蚀性气体显出奥氏体晶粒边界的试验结果的报告。

## 实验装置和方法

### 1. 光亮加热和气体浸蚀

图1是气氛调节装置和气体浸蚀炉的简图。用装入高压容器的氢和氮作为中性气体。试样首先在中性气体中光亮加热，随即把腐蚀性气体（例如HCl和Cl<sub>2</sub>气体）混入而进行气体浸蚀。光亮加热时如中性气体中混有氧或水蒸气，那么就有引起材料氧化或脱碳那样的副作用之虑。为了防止这种副作用

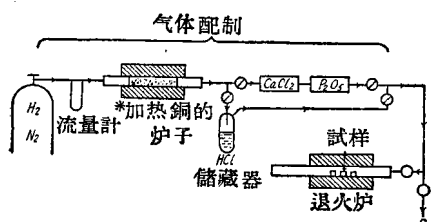


图1 气体配制装置和退火炉

\* 用铜屑在炉中加热，以去除H<sub>2</sub>或N<sub>2</sub>中的氧气。  
——校者注

用，应注意预先去除这些氧化性的气体。

### 2. 真空加热和气体浸蚀

图2所示为这种实验用的装置。装置的主要部分是透明石英管。钢试片A先放入试样罐B中。试样用推杆C借磁性的作用而移动并推入反应管D的E端。然后用推杆F推进反应管D中。反应终了后再由推杆F自反应管的另一H端推出而自然地落入水银槽J中冷却。K为取出试样的出口。这装置的M上有10<sup>-4</sup>毫米水银柱以上的真空装置，并可在N上与图1气体调节装置的S相接。使用这种装置可使真空加热后容易进行气体浸蚀。这是先在气体容器中贮存浸蚀用的气体，再由进口N引入图1所示装置所调节的气体。如用空气或氧作为浸蚀气体，那么应用氧化法也有可能。

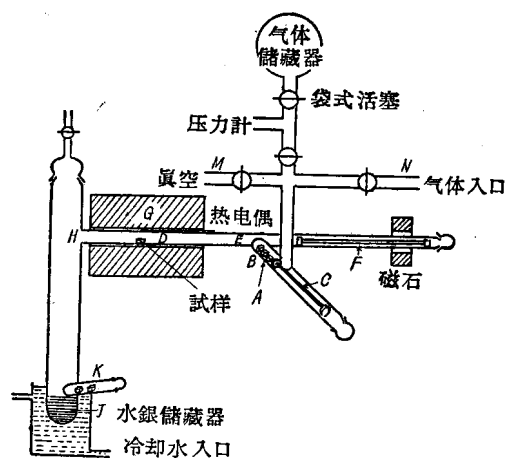


图2 气体浸蚀装置

### 3. 浸蚀气体

有各种气体可作为浸蚀气体之用，但腐蚀生成物应能气化，氧化物一般是高熔点的，反之氯化物则非常富有挥发性，因此用氯化氢或氯气来腐蚀是有利的。其中氯气对于真空装置的润滑油和扩散泵油等有强烈作用的缺点，因此主要使用氯化氢。

## 試 样

主要对碳素钢(S35C、SK7、SK4等\*)进行试验，特殊钢则对表1所列的钢种进行。

以这种钢材切成 $10 \times 10 \times 5$ 毫米的试样，把观察面作镜面似的抛光后以供实验之用。在高温中气体浸蚀一定时间后急冷，然后立即水洗、干燥，并用显微镜检查。

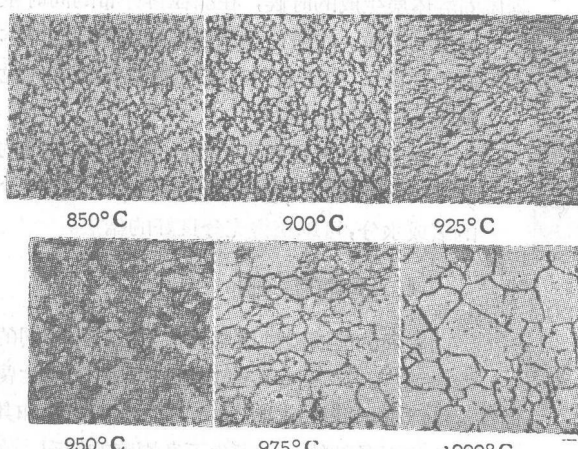
表1 特殊钢试样的化学成分

	C	Si	Mn	P	S	Cr	Ni	Mo	Cu	
S Cr 22	0.19	0.24	0.64	0.017	0.012	1.02	0.07	—	0.19	
SOM 4	0.41	0.31	0.53	0.019	0.005	1.11	0.09	0.22	0.21	B
SNO 22	0.18	0.38	0.52	0.015	0.008	0.82	3.31	—	0.16	0.0014
Ni-Or-Mo	0.54	0.18	0.70	0.012	0.011	1.00	2.09	0.30	—	
SNOM 25	0.14	0.26	0.37	0.015	0.010	0.73	4.02	0.23	0.17	

## 实 验 結 果

### 1. 加热温度的影响

照相1所示是在 $850\sim1000^{\circ}\text{C}$ 加热1小时晶粒成长后，转换活塞送入氯化氢气体浸蚀10分钟所显出的晶粒边界状况。用SK7的试样，晶粒的显出



照相1 用气体浸蚀法显示温度对表面晶粒度的影响

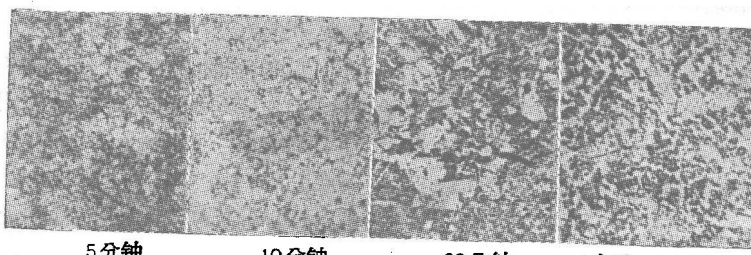
试样: SK7  $\times 150(1/2)$

较好。在较高的温度中，不仅进行晶粒边界的腐蚀，而且亦进行晶粒面的腐蚀，可清楚地看出 $975^{\circ}\text{C}$ 试样的双晶生成。温度在 $950^{\circ}\text{C}$ 以上的试样为了使晶粒边界清晰起见，把浸蚀面轻微地抛光。

### 2. 气体浸蚀时间的影响

关于普通显微组织的显出，如浸蚀的时间不适当，就不能顺利地显示出组织。也和高温气体浸蚀的情况相同，是以气体的种类、浓度、处理温度和钢材的种类为转移的。用氯气通过浓盐酸液面而带入氯化氢的情况下，在 $1000^{\circ}\text{C}$ 浸蚀 $1\sim2$ 分钟不够充分，3分钟则开始清楚地显出晶粒边界， $5\sim10$ 分钟的浸蚀最好。

如浸蚀时间在30分钟以上，那么晶粒面有显著的腐蚀，晶粒边界就不清楚了。照相2所示是S35C试样在 $925^{\circ}\text{C}$ 加热1小时并浸蚀5分钟至1小时的条件下的浸蚀状况。如氯化氢的浓度小，那么在长时间的浸蚀下也会清晰地显出晶粒边界的。例如照相6所示是氯化氢的分压力为1毫米，在 $1000^{\circ}\text{C}$ 进行30分钟至1小时的浸蚀，亦有清晰的晶粒边界。



照相2 用 $925^{\circ}\text{C}$ 氯化氢腐蚀时间对表面的影响

试样: S35C。

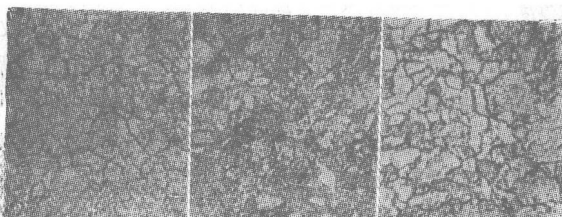
\* 分别相当于我国的35、65和碳10号钢——译者注。

### 3. 稀釋气体的影响

(1) 在用氢和氮作为稀釋气体的情况下，沒有看出有本质的差异。

(2) 脱碳的影响。試样如由稀釋气体引起脱碳或渗碳，那么也有表面显出晶粒而内部的晶粒并不正确显出的情况，在用氢或氮的情况下，有水蒸汽或氧夹杂会引起脱碳。为了要明了脱碳的影响，调节了气氛中的蒸汽压力并研究試样表面晶粒的显出情况。其結果是925°C 加热1小时脱碳显著的試样，有出現較为細小晶粒的場合；如注意脱水可获得良好的結果。鋼在湿润的氢中820°C 左右长时加热后，表面产生柱状铁素体层。在此情况下，表面由于显出铁素体层的晶粒而与内部的晶粒不同。

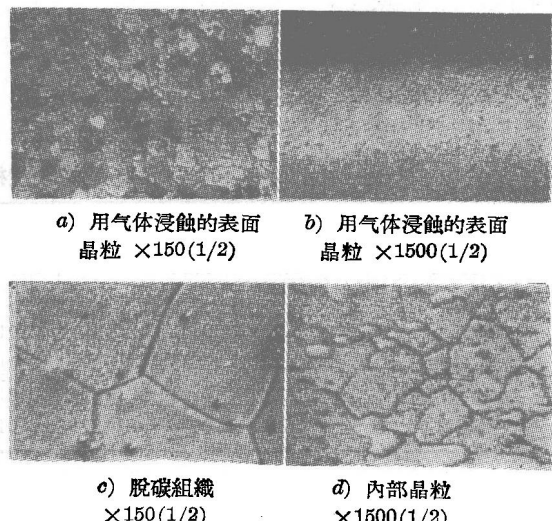
照相3所示是SK7在改变氢的干燥度并在820°C 加热3小时后的表面晶粒。但看不出由于干燥度的差別。在任何情况下，在断面的考查中，都看不出铁素体层的生成。但应注意可能由于钢中的含碳量、晶粒度、气氛中脱碳性气体成分的浓度以及处理时间而产生铁素体层。



气氛：H<sub>2</sub> 用 CaCl<sub>2</sub>  
+P<sub>2</sub>O<sub>5</sub> 干燥      H<sub>2</sub> 用 CaCl<sub>2</sub>  
干燥      湿的氢  
×500(1/2)  
照相3 在 820°C 用气体浸触法时水蒸气对表面晶粒的影响，試样：SK 7

茲述高速鋼的實驗結果作為鐵素体层容易产生之例。把高速鋼在氢中加热，在1100°C 以下的晶粒极小；在1200°C 以上則出現非常大的表面晶粒。照相4所示是第2种高速鋼(SKH2)\*在1200°C 加热1.5小时后的晶粒。照相4 a~b 是用氯化氢气体腐蝕的表面晶粒，显示出晶粒极为粗大。但試研究其断面，内部的晶粒如照相4 d 所示那样非常細的。試样表面如照相4 c 所示的因显殊脱碳而产生铁素体层，可看出这种試样的晶粒边界极大。因此可知上述照相4 a~b 表面晶粒表現了这铁素体层的晶粒。

按照高速鋼的状态图，这种处理温度如在低碳方面，那么由铁素体固溶体和碳化物所成；如在高碳方面則以γ 固溶体为主。这样的材料，在脱碳情况下，铁素体固溶体中的碳扩散系数远較γ 固溶体的



照相4 高速鋼(SKH2)在 1200°C 的脱碳和晶粒度  
×150(1/2)      ×1500(1/2)

碳扩散系数为大。而且铁素体固溶体的碳固溶度相当大，因此碳通过扩散速度快的铁素体固溶体层而迅速脱碳并在表面产生铁素体固溶体层。当这种铁素体固溶体层生成的时候，在晶粒再分布的同时生成大的晶粒。在表面生成这样的铁素体固溶体层的条件下，应避免用气体浸触法，因此在无脱碳气氛中进行为佳。

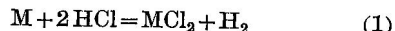
高速鋼的处理温度极高，这是非常特殊的例子。普通钢材如能注意除去气氛中氧化成分的氧或水分，可以获得充分良好的結果。

### 4. 鋼種的影响

普通的溶液浸触按照鋼種而有极不相同的浸触速度。高温气体浸触也根据鋼種而发生腐蝕速度的差异。此外按照添加元素亦有因氧化和其他副作用而对晶粒的显出发生不良影响的情况。在研究各种金属和氯化氢的高温化学作用时，其金属氯化物的性质是重要的。表2所列为金属氯化物的融点和沸点。

由此可知金属的氯化物一般容易揮发，在測定晶粒度的温度范围内，其蒸汽压力相当高，因此在試样表面并不产生氯化膜。此点是与氧化物完全不同的性质。

再則在氢的气氛中氯化氢和金属的反应如下：



\* 其化学成分为 C 0.65~0.85%， Si < 0.35%， Mn < 0.6%， S < 0.03%， P < 0.03%， Cr 3.5~4.5%， W 1.7~1.9%， V 0.5~1.0%。

表 2 金属氯化物的熔点和沸点

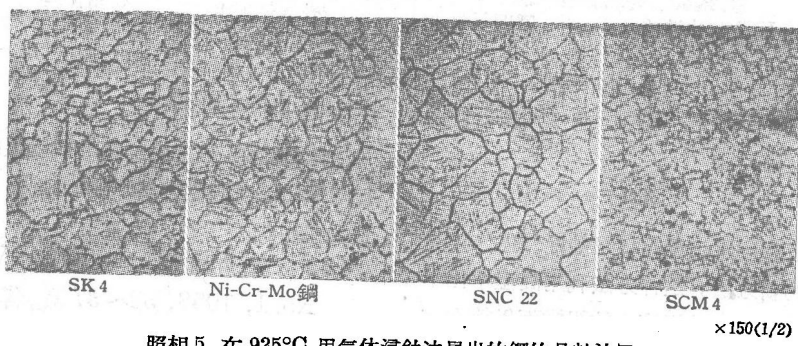
金属氯化物	熔 点 (°C)	沸 点 (°C)
CuCl <sub>2</sub>	630	分解
NiCl <sub>2</sub>		973 (升华)
FeCl <sub>2</sub>	677	1023 (升华)
CrCl <sub>2</sub>		1200
TiCl <sub>2</sub>	-30	186.4
AlCl <sub>3</sub>	190°(2.5 大气压)	177.8 (升华)
SiCl <sub>2</sub>	-70	57.71

因此可以預料式(1)的平衡偏于左面的并不十分腐蝕的銅、鎳，偏于右面的反應相當快的硅、鋁、鈦、鉻等。圖 3 所示為這種用氯化氫的高溫腐蝕的一例。同圖又示出碳素鋼、19% 鉻鋼和 18-8 不鏽鋼在氯

化氫的分壓 1 毫米水銀柱的氯氣流中加熱情況下的腐蝕量。指出碳素鋼在 900~1050°C 的腐蝕量几乎與時間成直線地增加，合金鋼則成拋物綫地增加，腐蝕是局部地強烈進行的。

在鋼中含大量鉻、硅、鑑等的情況下，這些金屬被氯氣中的氧化成分所氧化，因此晶粒的顯出並不清晰。在普通結構鋼的範圍內，如能充分除去氯氣中的水分，那麼由於混入微量的氯化氫而容易光亮加熱，所以沒有障礙。

照相 5 所示為二三種鋼的晶粒顯出情況，都顯示得很清楚。照相中可看出含鉻的鋼的晶粒面呈魏氏組織，但認為這是由冷卻途中的轉變而來的。



照相 5 在 925°C 用氣體浸蝕法顯出的鋼的晶粒邊界

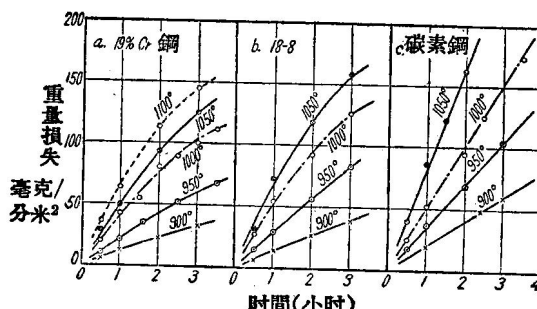
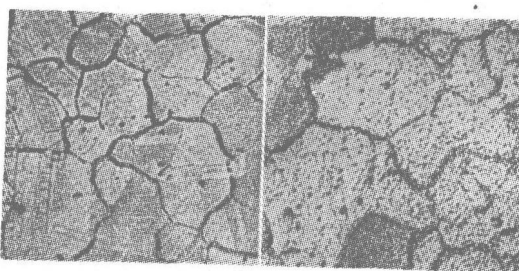


图 3 用氯化氢高温腐蚀时温度对钢的失重关系



照相 6 不鏽鋼在 1000°C 用氣體浸蝕法顯出的表面組織  
18-8 不鏽鋼 ×300(1/2)  
19% Cr 鋼 ×300(1/2)

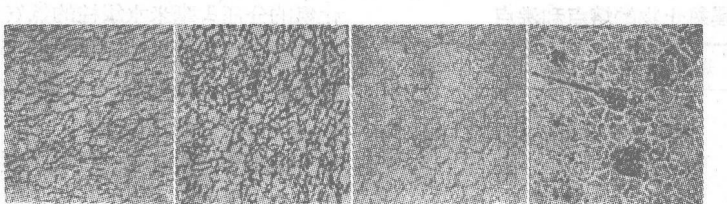
一般說來，特殊鋼的晶粒較碳素鋼容易顯出。高鉻鋼由於鉻的選擇氧化而光亮加熱極為困難，照相 6 所示為 18-8 不鏽鋼和 19% 鉻鋼的高溫腐蝕情況。處理條件是在氯化氫的分壓 1 毫米水銀柱的氯中 1000°C 加熱 2 小時，都清楚地顯出晶粒邊界，並明顯地指出奧氏體不鏽鋼和鐵素體不鏽鋼的高溫腐蝕的差異。

## 5. 与其它方法的比較

奧氏體晶粒的顯示雖有種種方法，但只比較了其中的淬火回火法、瞬間氧化法和常壓氧化法。

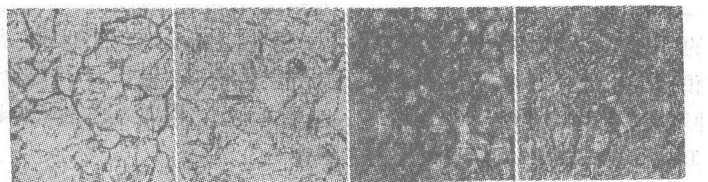
照相 7 所示是這些方法的結果。照相 7a 為碳素鋼 SK 7 在 925°C 加熱 1 小時後的結果（常壓氧化法是 5 小時加熱後的結果）。常壓氧化法有氧化後把試樣斜的切斷加以研磨就顯出正確的晶粒，本實驗是以表面直接研磨的。因此可能看到略為細小晶粒的情況。

照相 7b 是作為特殊鋼 SNCM 25 在 925°C 加熱後的結果。用氣體腐蝕法呈現魏氏組織，可清楚地看出晶粒邊界。淬火回火法要求熟練，否則不易顯出晶粒邊界，但這些方法之間並無大的差異。



HCl 气体浸蝕  
( $H_2$ ) (1 小时)      HCl 气体浸蝕  
( $N_2$ ) (1 小时)      瞬間氧化法  
(1 小时)      常压氧化法  
(5 小时)

(a) 試样: SK 7, 温度:  $925^\circ\text{C} \times 150(1/2)$



HCl 气体浸蝕      瞬間氧化法  
常压氧化法  
(5 小时)      退火法  
(5 小时)

(b) 試样: SNOM 25, 温度:  $925^\circ\text{C} \times 150(1/2)$

照相 7 用气体浸蝕法和其它方法显出的奥氏体晶粒边界

## 总 結

本文叙述了利用氯化氢这样腐蚀性气体作为显出奥氏体晶粒的新方法。这种方法利用高温中化学反应速度的差异显出在此温度中的组织而仍能在常温中加以研究，因此为最简易的方法。装置和检出

方法比较简单，也把内部真的粒度很好地再显出，获得与氧化法或其它方法一致的结果，因此可以认为适合实用。

(王允元譯自《鐵と鋼》Vol. 44,  
No. 1, 1958, 33~37 頁, 傅松圃校)